

# Komputerowa analiza zagadnień różniczkowych

## 9. Równania drugiego rzędu

P. F. Góra

<http://th-www.if.uj.edu.pl/zfs/gora/>

2013

## Motywacja

Ponieważ klasyczne równania ruchu (równania Newtona) mają postać równań różniczkowych drugiego rzędu, w praktyce bardzo ważna jest umiejętność numerycznego rozwiązywania równań postaci  $m_i \ddot{\mathbf{x}}_i = \mathbf{F}_i$ ,  $i = 1, 2, \dots, N$ , czyli

$$\frac{d^2 \mathbf{x}}{dt^2} = \mathbf{a}(t, \mathbf{x}(t)), \quad (1)$$

gdzie  $\mathbf{x}, \mathbf{a} \in \mathbb{R}^{3N}$ ,  $N$  jest ilością cząstek\*. Równanie tej postaci można łatwo przekształcić do układu równań pierwszego rzędu, ale szczególnie efektywne powinny być metody „od razu” dostosowane do równań rzędu drugiego.

\*Niekiedy ruch jest z przyczyn fizycznych ograniczony do przypadku dwu- lub jednowymiarowego. Wówczas zamiast  $3N$  w (1) mamy odpowiednio  $2N$  lub  $N$ .

## Przykład — metoda punktu środkowego

Równanie (1) możemy zamienić na układ równań pierwszego rzędu

$$\frac{d\mathbf{x}}{dt} = \mathbf{v}, \quad (2a)$$

$$\frac{d\mathbf{v}}{dt} = \mathbf{a}(t, \mathbf{x}). \quad (2b)$$

Formalnie możemy ten układ zapisać jako  $\frac{d\vec{\mathbf{x}}}{dt} = \vec{\mathbf{f}}(t, \vec{\mathbf{x}})$ , gdzie  $\vec{\mathbf{x}} = \begin{bmatrix} \mathbf{x} \\ \mathbf{v} \end{bmatrix}$ .  
Do układu (2) zastosujemy jawną metodę punktu środkowego.

Otrzymujemy

$$\vec{\mathbf{k}}_1 = \begin{bmatrix} \mathbf{v}_n \\ \mathbf{a}(t_n, \mathbf{x}_n) \end{bmatrix}, \quad \vec{\mathbf{x}}_n + \frac{1}{2}h\vec{\mathbf{k}}_1 = \begin{bmatrix} \mathbf{x}_n + \frac{1}{2}h\mathbf{v}_n \\ \mathbf{v}_n + \frac{1}{2}h\mathbf{a}(t_n, \mathbf{x}_n) \end{bmatrix} \quad (3a)$$

$$\vec{\mathbf{k}}_2 = \begin{bmatrix} \mathbf{v}_n + \frac{1}{2}h\mathbf{a}(t_n, \mathbf{x}_n) \\ \mathbf{a}\left(t_n + \frac{1}{2}h, \mathbf{x}_n + \frac{1}{2}h\mathbf{v}_n\right) \end{bmatrix} \quad (3b)$$

Ostatecznie

$$\mathbf{x}_{n+1} = \mathbf{x}_n + h\mathbf{v}_n + \frac{1}{2}h^2\mathbf{a}(t_n, \mathbf{x}_n) \quad (4a)$$

$$\mathbf{v}_{n+1} = \mathbf{v}_n + h\mathbf{a}\left(t_n + \frac{1}{2}h, \mathbf{x}_n + \frac{1}{2}h\mathbf{v}_n\right) \quad (4b)$$

Zwróćmy uwagę, na charakterystyczną obecność wielkości  $h^2$  w wyrażeniu na  $\mathbf{x}_{n+1}$ .

## Dygresja

Porównajmy algorytm (4) z **bardzo złym** algorytmem

$$\mathbf{x}_{n+1} = \mathbf{x}_n + h\mathbf{v}_n + \frac{1}{2}h^2\mathbf{a}(t_n, \mathbf{x}_n) \quad (5a)$$

$$\mathbf{v}_{n+1} = \mathbf{v}_n + h\mathbf{a}(t_n, \mathbf{x}_n). \quad (5b)$$

Powyższy algorytm powstał w wyniku naiwnego zastosowania “równań na ruch jednostajnie przyspieszony” do problemu (1). Algorytm ten daje niewłaściwe wyniki. Niestety, można go znaleźć w niektórych podręcznikach



## Metody Rungego-Kutty-Nyströma

Podójście, jakiego użylłmy do wyprowadzenia algorytmu (4), można uogólnić. Otrzymujemy w ten sposób metody Rungego-Kutty-Nyströma (RKN) dla równań postaci (1):

$$\mathbf{x}_{n+1} = \mathbf{x}_n + h\mathbf{x}'_n + h^2 \sum_{i=1}^s w_i \mathbf{k}_i \quad (6a)$$

$$\mathbf{x}'_{n+1} = \mathbf{x}'_n + h \sum_{i=1}^s \bar{w}_i \mathbf{k}_i \quad (6b)$$

$$\mathbf{k}_i = \mathbf{a} \left( t_n + \alpha_i h, \mathbf{x}_n + \alpha_i h \mathbf{x}'_n + h^2 \sum_{j=1}^s \beta_{ij} \mathbf{k}_j \right) \quad (6c)$$

Zestawy wag  $\{w_i\}$ ,  $\{\bar{w}_i\}$  mogą być różne. Istnieje wiele różnych metod RKN, w tym metody niejawne, zagnieżdżone.

## Przykład metody RKN rzędu czwartego

Rozważamy równanie postaci  $\frac{d^2\mathbf{x}}{dt^2} = \mathbf{a}(t, \mathbf{x}, \mathbf{x}')$  (siły mogą zależeć od prędkości). Metodą RKN jest<sup>†</sup>

$$\mathbf{k}_1 = \mathbf{a}(t_n, \mathbf{x}_n, \mathbf{x}'_n) \quad (7a)$$

$$\mathbf{k}_2 = \mathbf{a}\left(t_n + \frac{1}{2}h, \mathbf{x}_n + \frac{1}{2}h\mathbf{x}'_n + \frac{1}{8}h^2\mathbf{k}_1, \mathbf{x}'_n + \frac{1}{2}h\mathbf{k}_1\right) \quad (7b)$$

$$\mathbf{k}_3 = \mathbf{a}\left(t_n + \frac{1}{2}h, \mathbf{x}_n + \frac{1}{2}h\mathbf{x}'_n + \frac{1}{8}h^2\mathbf{k}_2, \mathbf{x}'_n + \frac{1}{2}h\mathbf{k}_2\right) \quad (7c)$$

$$\mathbf{k}_4 = \mathbf{a}\left(t_n + h, \mathbf{x}_n + h\mathbf{x}'_n + h^2\mathbf{k}_3, \mathbf{x}'_n + h\mathbf{k}_3\right) \quad (7d)$$

$$\mathbf{x}_{n+1} = \mathbf{x}_n + h\mathbf{x}'_n + \frac{1}{6}h^2(\mathbf{k}_1 + \mathbf{k}_2 + \mathbf{k}_3) \quad (7e)$$

$$\mathbf{x}'_{n+1} = \mathbf{x}'_n + \frac{1}{6}h(\mathbf{k}_1 + 2\mathbf{k}_2 + 2\mathbf{k}_3 + \mathbf{k}_4) \quad (7f)$$

<sup>†</sup>[Sprawdzić to!](#)

## Algorytmy symplektyczne

Rozważać teraz będziemy układy hamiltonowskie, to jest układy  $\mathbf{q}, \mathbf{p} \in \mathbb{R}^n$ , przy czym zakładamy, że istnieje funkcjonal, zwany hamiltonianem,

$$H(\mathbf{q}, \mathbf{p}) : \mathbb{R}^n \times \mathbb{R}^n \rightarrow \mathbb{R} \quad (8)$$

taki, że równania ruchu mają postać

$$\frac{d\mathbf{q}}{dt} = \nabla_{\mathbf{p}} H(\mathbf{q}, \mathbf{p}), \quad \frac{d\mathbf{p}}{dt} = -\nabla_{\mathbf{q}} H(\mathbf{q}, \mathbf{p}). \quad (9)$$

(Po rozpisaniu (9) na składowe, otrzymujemy  $\dot{q}_i = \partial H / \partial p_i$ ,  $\dot{p}_i = -\partial H / \partial q_i$ .)

Wszystkie układy mechaniki klasycznej bez dysypacji są hamiltonowskie.



Jeżeli zdefiniujemy  $\mathbf{z} = \{\mathbf{q}, \mathbf{p}\}$ , równania (9) możemy zapisać w postaci

$$\frac{d\mathbf{z}}{dt} = \mathbf{J} \nabla_{\mathbf{z}} H(\mathbf{z}), \quad (10)$$

gdzie

$$\mathbf{J} = \begin{bmatrix} \mathbf{0} & \mathbf{I} \\ -\mathbf{I} & \mathbf{0} \end{bmatrix} \quad (11)$$

nazywa się *macierzą symplektyczną*.

## Twierdzenie

Niech  $\mathbf{z}_1(0) = \{q_1(0), p_1(0)\}$ ,  $\mathbf{z}_2(0) = \{q_2(0), p_2(0)\}$  będą dwoma *dowolnymi* warunkami początkowymi, natomiast  $\mathbf{z}_1(t) = \{q_1(t), p_1(t)\}$ ,  $\mathbf{z}_2(t) = \{q_2(t), p_2(t)\}$  niech będą odpowiadającymi im rozwiązaniami równania (10). Wówczas

$$\mathbf{z}_1^T(t) \mathbf{J} \mathbf{z}_2(t) = \mathbf{z}_1^T(0) \mathbf{J} \mathbf{z}_2(0). \quad (12)$$

Algorytm numerycznego rozwiązywania hamiltonowskich ODE, który spełnia (12), nazywa się *algorytmem symplektycznym*.

## Ważna obserwacja

Jeśli równania ruchu układu hamiltonowskiego rozwiązujemy numerycznie algorytmem symplektycznym, całki ruchu *nie* są, ściśle rzecz biorąc, zachowane, ale nie oddalają się bardzo od swoich *dokładnych* wartości, lekko wokół nich oscylując.

## Symplektyczne metody RK

Rozważmy  $s$ -krokową metodę Rungego-Kutty opisaną tabelką

$$\begin{array}{c|cccc} \alpha_1 & \beta_{11} & \beta_{12} & \dots & \beta_{1s} \\ \alpha_2 & \beta_{21} & \beta_{22} & \dots & \beta_{2s} \\ \vdots & \vdots & \vdots & \vdots & \vdots \\ \alpha_s & \beta_{s1} & \beta_{s2} & \dots & \beta_{ss} \\ \hline & w_1 & w_2 & \dots & w_s \end{array} \quad (13)$$

Niech  $\mathbf{M} \in \mathbb{R}^{s \times s}$  będzie macierzą o elementach

$$\mathbf{M}_{ij} = w_i \beta_{ij} + w_j \beta_{ji} - w_i w_j. \quad (14)$$

**Twierdzenie:** Jeżeli  $\mathbf{M} = \mathbf{0}$ , metoda (13) jest symplektyczna. (Jest to także warunek konieczny.)

## Przykład

Dwukrokowa metoda Gaussa-Legendre'a

$$\begin{array}{c|cc} \frac{1}{2} - \frac{\sqrt{3}}{6} & \frac{1}{4} & \frac{1}{4} - \frac{\sqrt{3}}{6} \\ \frac{1}{2} + \frac{\sqrt{3}}{6} & \frac{1}{4} + \frac{\sqrt{3}}{6} & \frac{1}{4} \\ \hline & \frac{1}{2} & \frac{1}{2} \end{array} \quad (15)$$

jest symplektyczna.

## Obserwacja: Tylko *niejawne* metody RK mogą być symplektyczne

Dlaczego? Zgodnie z równaniem (14),

$$\forall i : \mathbf{M}_{ii} = 2w_i\beta_{ii} - w_i^2 = 0 \rightsquigarrow \beta_{ii} \neq 0, \quad (16)$$

o ile tylko  $w_i \neq 0$ . Ale ***wszystkie***  $w_i$  nie mogą jednocześnie zniknąć.

Problem: Niejawne metody Rungego-Kutty są kosztowne w użyciu ☹

## Hamiltoniany separowalne

Założmy, że hamiltonian badanego układu jest *separowalny*, to znaczy ma postać

$$H(\mathbf{p}, \mathbf{q}) = T(\mathbf{p}) + U(\mathbf{q}) \quad (17)$$

*Bardzo wiele* “ważnych” hamiltonianów ma taką postać.  $T$  jest energią kinetyczną,  $U$  — energią potencjalną. W takim wypadku równania ruchu mają postać

$$\dot{\mathbf{q}} = \mathbf{P}(\mathbf{p}) = \nabla_{\mathbf{p}} T(\mathbf{p}), \quad \dot{\mathbf{p}} = \mathbf{F}(\mathbf{q}) = -\nabla_{\mathbf{q}} U(\mathbf{q}). \quad (18)$$

Siła to minus gradient potencjału ☺

## Symplektyczne algorytmy wyższych rzędów — algorytm Candy-Rozmusa

Przypuśćmy, iż mamy separowalny hamiltonian (17); równania ruchu mają wobec tego postać (18). Krok całkowania oznaczam przez  $h$ . W chwili  $t_n$  układ jest w punkcie  $(\mathbf{p}_n, \mathbf{q}_n)$ . Przyjmijmy  $\tilde{\mathbf{q}}_0 = \mathbf{q}_n, \tilde{\mathbf{p}}_0 = \mathbf{p}_n$ . Algorytm: Dla  $i = 1, \dots, 4$ :

$$\tilde{\mathbf{p}}_i = \tilde{\mathbf{p}}_{i-1} + h b_i \mathbf{F}(\tilde{\mathbf{q}}_{i-1}), \quad \tilde{\mathbf{q}}_i = \tilde{\mathbf{q}}_{i-1} + h a_i \mathbf{P}(\tilde{\mathbf{p}}_i), \quad (19a)$$

gdzie

$$a_1 = a_4 = (2 + 2^{1/3} + 2^{-1/3})/6, \quad (19b)$$

$$a_2 = a_3 = (1 - 2^{1/3} - 2^{-1/3})/6, \quad (19c)$$

$$b_1 = 0, \quad (19d)$$

$$b_2 = b_4 = 1/(2 - 2^{1/3}), \quad (19e)$$

$$b_3 = 1/(1 - 2^{1/3}). \quad (19f)$$

Bierzemy  $\mathbf{p}_{n+1} = \tilde{\mathbf{p}}_4 + O(h^5), \mathbf{q}_{n+1} = \tilde{\mathbf{q}}_4 + O(h^5)$ .



## Algorytm Ruth

Algorytm Candy-Rozmusa jest czwartego rzędu. *Algorytm Ruth* jest trzeciego rzędu, ma taką samą strukturę, jak Candy-Rozmus, ale ma współczynniki

$$(a_1, a_2, a_3) = \left( \frac{2}{3}, -\frac{2}{3}, 1 \right), \quad (20a)$$

$$(b_1, b_2, b_3) = \left( \frac{7}{24}, \frac{3}{4}, -\frac{1}{24} \right). \quad (20b)$$

Algorytmy Candy-Rozmusa i Ruth *nie* są algorytmami Rungego-Kutty (różne współczynniki dla  $p, q$ ), ale są “w stylu” Rungego-Kutty.

## Metody Verleta — motywacja

Algorytmy RKN i algorytmy symplektyczne są kosztowne w użyciu — wymagają obliczeń w punktach pośrednich, a więc kilku obliczeń przyspieszenia (siły) w każdym kroku całkowania. Jeżeli badamy układ *wielu* oddziaływających cząstek, to, po pierwsze, każde obliczenie siły może być bardzo kosztowne, po drugie, nie interesuje nas trajektoria układu, ale pewne własności statystyczne, dotyczące całego zespołu badanych cząstek. Dlatego w tego typu sytuacjach wygodnie jest mieć algorytm mniej dokładny, ale za to szybki w użyciu.

## Klasyczny algorytm Verleta

Spróbujmy wyprowadzić metodę całkowania równania (1) w sposób systematyczny. Zakładamy, że przyspieszenia nie zależą od prędkości. Dokonujemy następujących rozwinięć w szereg Taylora:

$$\mathbf{x}(t_n+h) = \mathbf{x}(t_n) + \left. \frac{d\mathbf{x}}{dt} \right|_{t_n} h + \frac{1}{2} \left. \frac{d^2\mathbf{x}}{dt^2} \right|_{t_n} h^2 + \frac{1}{6} \left. \frac{d^3\mathbf{x}}{dt^3} \right|_{t_n} h^3 + O(h^4) \quad (21a)$$

$$\mathbf{x}(t_n-h) = \mathbf{x}(t_n) - \left. \frac{d\mathbf{x}}{dt} \right|_{t_n} h + \frac{1}{2} \left. \frac{d^2\mathbf{x}}{dt^2} \right|_{t_n} h^2 - \frac{1}{6} \left. \frac{d^3\mathbf{x}}{dt^3} \right|_{t_n} h^3 + O(h^4) \quad (21b)$$

Po dodaniu równań (21) stronami i uporządkowaniu wyrazów otrzymujemy

$$\mathbf{x}_{n+1} = 2\mathbf{x}_n - \mathbf{x}_{n-1} + \mathbf{a}_n h^2 + O(h^4). \quad (22)$$

Algorytm (22) zwany jest *metodą (algorytmem) Verleta* (Verlet 1967).

Zauważmy, iż metoda Verleta jest *metodą wielokrokową* — do obliczenia przyszłej wartości  $x$  potrzebna jest znajomość obecnej *oraz* poprzedniej wartości  $x$ .

W celu pokazania, iż algorytm Verleta jest zgodny z równaniem (1), przekształcamy równanie (22) do postaci

$$\frac{\frac{x_{n+1} - x_n}{h} - \frac{x_n - x_{n-1}}{h}}{h} = a_n . \quad (23)$$

W granicy  $h \rightarrow 0^+$  odtwarzamy równanie (1).

## Stabilność metody Verleta

Z uwagi na to, że jest to metoda wielokrokowa, stabilność algorytmu Verleta bada się w sposób właściwy dla tej klasy algorytmów. Dla uproszczenia notacji przyjmijmy na chwilę, iż interesuje nas wyłącznie przypadek jednowymiarowy. Mamy zatem

$$\begin{aligned}x_{n+1} + \varepsilon_{n+1} &= 2(x_n + \varepsilon_n) - (x_{n-1} + \varepsilon_{n-1}) + h^2 a(x_n + \varepsilon_n) \\ &\simeq 2x_n - x_{n-1} + h^2 \underbrace{a(x_n)}_{=a_n} + 2\varepsilon_n - \varepsilon_{n-1} + h^2 \left. \frac{da}{dx} \right|_{t_n} \varepsilon_n\end{aligned}\quad (24)$$

Nawias w napisie  $a(x_n + \varepsilon_n)$  nie oznacza mnożenia, ale zależność funkcyjną!

Propagacja błędu opisana jest zatem równaniem

$$\varepsilon_{n+1} = (2 + \lambda)\varepsilon_n - \varepsilon_{n-1}, \quad (25)$$

gdzie  $\lambda = da/dx|_{t_n} h^2$ . Równanie (25) możemy przedstawić w postaci<sup>‡</sup>

$$\begin{bmatrix} \varepsilon_{n+1} \\ \varepsilon_n \end{bmatrix} = \mathbf{G} \begin{bmatrix} \varepsilon_n \\ \varepsilon_{n-1} \end{bmatrix} = \begin{bmatrix} 2 + \lambda & -1 \\ 1 & 0 \end{bmatrix} \begin{bmatrix} \varepsilon_n \\ \varepsilon_{n-1} \end{bmatrix}. \quad (26)$$

Równaniem charakterystycznym jest

$$\det(\mathbf{G} - g\mathbb{I}) = -g(2 + \lambda - g) + 1 = g^2 - (2 + \lambda)g + 1 = 0 \quad (27)$$

<sup>‡</sup>Wielokrokowa propagacja błędu jest jednokrokowa w przestrzeni o odpowiednio większej ilości wymiarów!

Widać zatem, iż algorytm Verleta jest stabilny, jeżeli

$$|g_{\pm}| = \frac{1}{2} \left| 2 + \lambda \pm \sqrt{4\lambda + \lambda^2} \right| < 1. \quad (28)$$

Rozważmy trzy przypadki:

1.  $-4 \leq \lambda \leq 0$ . Wówczas  $4\lambda + \lambda^2 \leq 0$ .

$$\begin{aligned} g_{\pm} &= 1 + \frac{1}{2}\lambda \pm \frac{i}{2}\sqrt{|4\lambda + \lambda^2|}, \\ |g_{\pm}|^2 &= 1 + \lambda + \frac{1}{4}\lambda^2 + \frac{1}{4}|4\lambda + \lambda^2| \\ &= 1 + \lambda + \frac{1}{4}\lambda^2 - \frac{1}{4}(4\lambda + \lambda^2) \equiv 1. \end{aligned}$$

Algorytm jest zatem *neutralnie (marginalnie) stabilny*, co oznacza, że błędy nie są co prawda tłumione, ale też nie narastają i nie prowadzą do rozbieżności.

2.  $\lambda > 0$ . Wówczas  $g_+ > 1$ .

3.  $\lambda < -4$ . Wówczas  $g_- < -1$ .

Rekapitulując, dla ruchu jednowymiarowego *klasyczny algorytm Verleta jest marginalnie stabilny dla  $da/dx|_{t_n} h^2 \in [-4, 0]$  i niestabilny poza tym przedziałem.*



## Wady algorytmu Verleta

- Dziwne traktowanie prędkości — prędkość w kroku  $n$  znana jest dopiero po obliczeniu położenia w kroku  $n + 1$ . W symulacjach znajomość prędkości nie jest potrzebna do obliczania sił, ale jest potrzebna do obliczania energii kinetycznej, temperatury, ciśnienia itp. Prędkość obliczana jest ze wzoru

$$\mathbf{v}_n = \frac{\mathbf{x}_{n+1} - \mathbf{x}_{n-1}}{2h}, \quad (29)$$

- We wzorze (22) różnica dwu „dużych” wyrażen rzędu  $O(h^0)$  jest dodawana do „małego” wyrażenia rzędu  $O(h^2)$ , co może prowadzić do znacznej utraty dokładności numerycznej.

Zauważmy, że wyrażenie (29) jest symetryczne w czasie; próba obliczania  $\mathbf{v}_n = (\mathbf{x}_n - \mathbf{x}_{n-1})/h$  łamałaby symetrię odwrócenia w czasie, a przecież równania mechaniki (bez sił zależnych od prędkości) są mikroskopowo odwracalne!

## Algorytm *leap–frog* („żabięgo skoku”)

Sposobem na obejście (niektórych) trudności z algorytmem Verleta jest *algorytm leap–frog* (Hockney 1970), w którym prędkości obliczane są w czasach pośrednich pomiędzy położeniami<sup>§</sup>:

$$\mathbf{v} \left( t_n + \frac{1}{2}h \right) = \mathbf{v} \left( t_n - \frac{1}{2}h \right) + h\mathbf{a}_n, \quad (30a)$$

$$\mathbf{x}_{n+1} = \mathbf{x}(t_n + h) = \mathbf{x}_n + h\mathbf{v} \left( t_n + \frac{1}{2}h \right). \quad (30b)$$

Prędkości obliczane są według wzoru

$$\mathbf{v}_n = \frac{1}{2} \left[ \mathbf{v} \left( t_n - \frac{1}{2}h \right) + \mathbf{v} \left( t_n + \frac{1}{2}h \right) \right]. \quad (31)$$

<sup>§</sup>Żaby wcale tak nie skaczą.

## Zgodność algorytmu leap–frog

Aby sprawdzić czy algorytm leap–frog jest zgodny, należy z (30) wyeliminować prędkości. Po podstawieniu pierwszego z równań (30) do drugiego dostajemy

$$\mathbf{x}_{n+1} = \mathbf{x}_n + h\mathbf{v} \left( t_n - \frac{1}{2}h \right) + h^2\mathbf{a}_n. \quad (32)$$

Drugie z równań (30) przesunięte w tył w czasie daje

$$h\mathbf{v} \left( t_n - \frac{1}{2}h \right) = \mathbf{x}_n - \mathbf{x}_{n-1}. \quad (33)$$

Ostatecznie

$$\mathbf{x}_{n+1} = 2\mathbf{x}_n - \mathbf{x}_{n-1} + h^2\mathbf{a}_n. \quad (34)$$

Równanie (34) ma taką samą postać co równanie (22), widzimy zatem, iż *algorytm leap–frog jest algebraicznie równoważny algorytmowi Verleta*, a więc jest zgodny z równaniem (1). Nie oznacza to jednak, iż *numeryczne* rezultaty zastosowania obu tych algorytmów są takie same!

## Stabilność algorytmu leap–frog

Wyrażenia na propagację błędu w algorytmie leap–frog mają postać

$$\boldsymbol{\eta}_{n+1/2} = \boldsymbol{\eta}_{n-1/2} + h \mathbf{J} \boldsymbol{\varepsilon}_n, \quad (35a)$$

$$\boldsymbol{\varepsilon}_{n+1} = \boldsymbol{\varepsilon}_n + h \boldsymbol{\eta}_{n+1/2}, \quad (35b)$$

gdzie  $\mathbf{J}_{ij} = \left. \partial \mathbf{a}_i / \partial \mathbf{x}_j \right|_{t_n}$ . Pod względem propagacji błędu *metoda leap–frog zachowuje się jak metoda pół-niejawna!* Ostatecznie macierz wzmocnienia ma postać

$$\mathbf{G} = \begin{bmatrix} \mathbb{I} & h \mathbf{J} \\ h \mathbb{I} & \mathbb{I} + h^2 \mathbf{J} \end{bmatrix}. \quad (36)$$

Dla przypadku jednowymiarowego otrzymujemy stąd

$$g_{\pm} = \frac{2 + \lambda \pm \sqrt{4\lambda + \lambda^2}}{2}, \quad (37)$$

gdzie, jak poprzednio,  $\lambda = da/dx|_{t_n} h^2$ . Jest to identyczne z analogicznym wyrażeniem dla metody Verleta<sup>¶</sup>, a zatem własności stabilności metody leap-frog i metody Verleta są — co najmniej w przypadku jednowymiarowym — identyczne.

<sup>¶</sup>Co nie dziwi wobec *algebraicznej* równoważności tych metod.

## Cechy algorytmu leap–frog:

- ☹️ Różnica dwu dużych wielkości nie jest porównywana z małą.
- ☹️ Prędkość w chwili  $t_n$  jest znana w chwili  $t_n$ , nie dopiero w chwili  $t_{n+1}$ .
- ☹️ Algorytm wymaga inicjalizacji (metodą RK odpowiedniego rzędu z krokiem połówkowym).
- ☹️ Przyspieszenia (siły) nie mogą zależeć od prędkości.
- ☹️ Prędkości nadal obsługiwane są dość dziwnie.

## Algorytm *velocity Verlet*

Problemy z dziwnym tartkowaniem prędkości rozwiązuje kolejna modyfikacja algorytmu Verleta, zwana *velocity Verlet* (Swope et. al. 1982):

$$\mathbf{x}_{n+1} = \mathbf{x}_n + h \mathbf{v}_n + \frac{1}{2}h^2 \mathbf{a}_n, \quad (38a)$$

$$\mathbf{v}_{n+1} = \mathbf{v}_n + \frac{1}{2}h (\mathbf{a}_n + \mathbf{a}_{n+1}). \quad (38b)$$

Algorytm ten nie nadaje się do sił (przyspieszeń) zależnych od prędkości.

## Uogólniony algorytm *velocity Verlet*

Okazuje się, że algorytm *velocity Verlet* można łatwo uogólnić (PFG):

$$\mathbf{x}_{n+1} = \mathbf{x}_n + h \mathbf{v}_n + \alpha h^2 \mathbf{a}_n, \quad (39a)$$

$$\mathbf{v}_{n+1} = \mathbf{v}_n + h \left( \alpha \mathbf{a}_n + (1 - \alpha) \mathbf{a}_{n+1} \right), \quad (39b)$$

gdzie  $\alpha \in [0, 1]$ .



Zgodność algorytmu (39) z równaniem (1) pokażemy eliminując z (39) prędkości. Odejmując od pierwszego z równań (39) to samo równanie cofnięte o krok w czasie, dostajemy

$$\mathbf{x}_{n+1} = 2\mathbf{x}_n - \mathbf{x}_{n-1} + h(\mathbf{v}_n - \mathbf{v}_{n-1}) + \alpha h^2(\mathbf{a}_n - \mathbf{a}_{n-1}). \quad (40)$$

Z kolei na mocy drugiego z równań (39),

$$\mathbf{v}_n - \mathbf{v}_{n-1} = h(\alpha \mathbf{a}_{n-1} - (1 - \alpha)\mathbf{a}_n). \quad (41)$$

Ostatecznie

$$\begin{aligned}\mathbf{x}_{n+1} &= 2\mathbf{x}_n - \mathbf{x}_{n-1} + h^2 (\alpha \mathbf{a}_n - \alpha \mathbf{a}_{n-1} + \alpha \mathbf{a}_{n-1} + (1 - \alpha)\mathbf{a}_n) \\ &= 2\mathbf{x}_n - \mathbf{x}_{n-1} + h^2 \mathbf{a}_n,\end{aligned}\tag{42}$$

a więc znów dostajemy algebraiczną równoważność (uogólnionego) algorytmu velocity Verlet i klasycznego algorytmu Verleta.

Propagacja błędu dla sił niezależnych od prędkości ma postać

$$\boldsymbol{\varepsilon}_{n+1} = \boldsymbol{\varepsilon}_n + h\boldsymbol{\eta}_n + \alpha h^2 \mathbf{J}\boldsymbol{\varepsilon}_n, \quad (43a)$$

$$\boldsymbol{\eta}_{n+1} = \boldsymbol{\eta}_n + h\alpha \mathbf{J}\boldsymbol{\varepsilon}_n + h(1 - \alpha)\tilde{\mathbf{J}}\boldsymbol{\varepsilon}_{n+1}, \quad (43b)$$

$\mathbf{J}$  jest jakobianem w kroku  $n$ ,  $\tilde{\mathbf{J}}$  jest jakobianem w kroku  $n+1$ . Jako macierz wzmocnienia dostajemy

$$\mathbf{G} = \begin{bmatrix} \mathbb{I} + \alpha h^2 \mathbf{J} & h\mathbb{I} \\ \alpha h \mathbf{J} + (1 - \alpha)h\tilde{\mathbf{J}}(\mathbb{I} + \alpha h^2 \mathbf{J}) & \mathbb{I} + (1 - \alpha)h^2 \tilde{\mathbf{J}} \end{bmatrix}. \quad (44)$$

W przypadku jedowymiarowym, niezależnie od wartości parametru  $\alpha$ , dostajemy takie same współczynniki wzmocnienia, jak w metodach Verleta i leap–frog, a zatem własności stabilności uogólnionej metody velocity Verlet są takie same, jak i innych metod Verleta.

Dla  $\alpha = 1$  algorytm (39) można stosować gdy przyspieszenia zależą od prędkości!

$$\mathbf{x}_{n+1} = \mathbf{x}_n + h \mathbf{v}_n + h^2 \mathbf{a}_n, \quad (45a)$$

$$\mathbf{v}_{n+1} = \mathbf{v}_n + h \mathbf{a}_n, \quad (45b)$$

co można też zapisać jako

$$\mathbf{v}_{n+1} = \mathbf{v}_n + h \mathbf{a}_n, \quad (46a)$$

$$\mathbf{x}_{n+1} = \mathbf{x}_n + h \mathbf{v}_{n+1}. \quad (46b)$$

W tym wypadku macierz wzmocnienia ma postać

$$\mathbf{G} = \begin{bmatrix} \mathbb{I} + h^2 \mathbf{J}_x & h \mathbb{I} + h^2 \mathbf{J}_v \\ h \mathbf{J}_x & \mathbb{I} + h \mathbf{J}_v \end{bmatrix}, \quad (47)$$

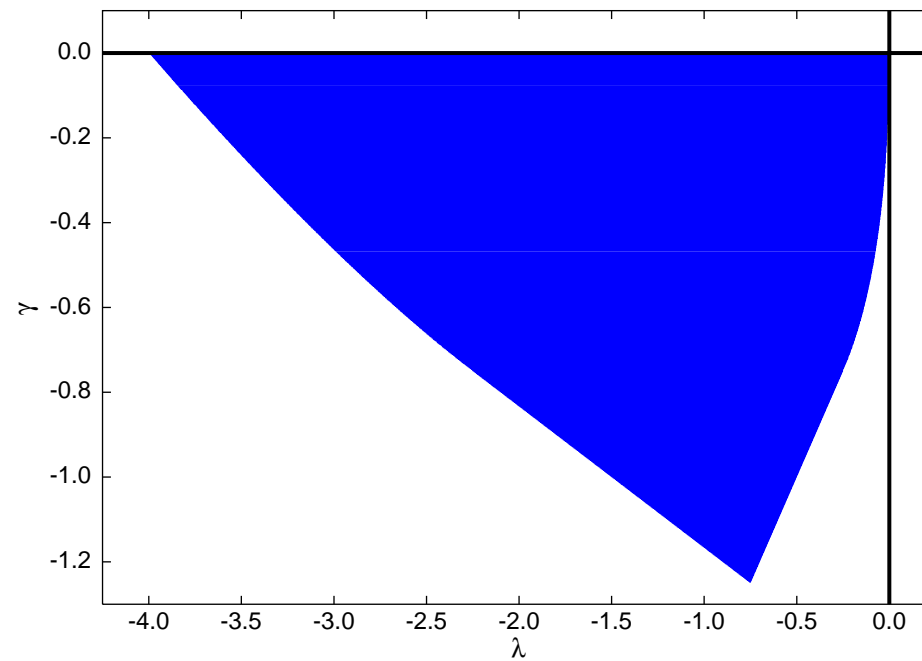
gdzie  $\mathbf{J}_x$ ,  $\mathbf{J}_v$  oznaczają, odpowiednio, jacobiany po położeniach i prędkościach.

W przypadku jednowymiarowym dostajemy

$$g_{\pm} = \frac{1}{2} \left( 2 + \lambda + \gamma \pm \sqrt{4\lambda + (\lambda + \gamma)^2} \right), \quad (48)$$

gdzie  $\lambda = \partial a / \partial x|_{t_n} h^2$ ,  $\gamma = \partial a / \partial v|_{t_n} h$ . Dla  $\gamma = 0$  (przyspieszenia nie zależą od prędkości) daje to oczywiście to samo, co inne metody Verleta, czyli marginalną stabilność dla  $\lambda \in [-4, 0]$ ,  $\gamma = 0$ . Dla  $\gamma < 0$  i  $\lambda < 0$  otrzymujemy ograniczony obszar absolutnej stabilności.

Obszar stabilności dla uogólnionej metody *velocity Verlet*  
w przypadku jednowymiarowym



## Inna modyfikacja algorytmu *velocity Verlet*

Opublikowano kilka modyfikacji algorytmu Verleta przeznaczonych do rozwiązywania równań z przyspieszeniami (siłami) zależnymi od prędkości. Najczęściej używana pochodzi z pracy R. D. Groot, P. B. Warren, *Dissipative particle dynamics: Bridging the gap between atomistic and mesoscopic simulations*, J. Chem. Phys. **107**, 4423 (1997). Jest to algorytm typu *predyktor-korektor*:

$$\mathbf{x}_{n+1} = \mathbf{x}_n + h\mathbf{v}_n + \frac{1}{2}h^2\mathbf{a}_n, \quad (49a)$$

predyktor:

$$\tilde{\mathbf{v}} = \mathbf{v}_n + \beta h\mathbf{a}_n, \quad (49b)$$

$$\tilde{\mathbf{a}} = \mathbf{a}(\mathbf{x}_{n+1}, \tilde{\mathbf{v}}), \quad (49c)$$

korektor:

$$\mathbf{v}_{n+1} = \mathbf{v}_n + \frac{1}{2}h(\mathbf{a}_n + \tilde{\mathbf{a}}), \quad (49d)$$

gdzie  $\beta \in [0, 1]$ . W przeciwieństwie do algorytmu (45), algorytm (49) wymaga dwu obliczeń przyspieszenia na krok czasowy.

## Algorytmy Verleta są symplektyczne

**Twierdzenie:** Jeżeli hamiltonian jest separowalny, algorytm Verleta i inne algorytmy równoważne mu algebraicznie (*leap-frog*, *velocity Verlet*) są symplektyczne.